

МИНИСТЕРСТВО НАУКИ И ВЫСШЕГО ОБРАЗОВАНИЯ РОССИЙСКОЙ ФЕДЕРАЦИИ
МИНИСТЕРСТВО ОБРАЗОВАНИЯ И НАУКИ РЕСПУБЛИКИ ТАДЖИКИСТАН
МЕЖГОСУДАРСТВЕННОЕ ОБРАЗОВАТЕЛЬНОЕ УЧРЕЖДЕНИЕ
ВЫСШЕГО ОБРАЗОВАНИЯ
«РОССИЙСКО-ТАДЖИКСКИЙ (СЛАВЯНСКИЙ) УНИВЕРСИТЕТ»

Естественнонаучный факультет

Кафедра химии и биологии

«УТВЕРЖДАЮ»

Зав. кафедрой химии и биологии



Бердиев А.Э.

«28» августа 2024 г.

ФОНД ОЦЕНОЧНЫХ СРЕДСТВ
по учебной дисциплине

Физические методы исследования

Направления подготовки - 04.03.01– Химия

Профиль подготовки – «Общая Химия»

Уровень подготовки - бакалавриат

Душанбе 2024 г.

ПАСПОРТ
ФОНДА ОЦЕНОЧНЫХ СРЕДСТВ
 по дисциплине Физические методы исследования

№ п/ п	Контролируем ые разделы, темы	Формируемые компетенции	Индикаторы достижения компетенции	Оценочные средства	
				Количество тестовых заданий/ вопросов к зачету	Другие оценочные средства
				Вид	
1.	Общие проблемы процесса измерения	ПК-2 Способен использовать современную аппаратуру при проведении научных исследований	ИПК-2.1. способность применения оборудования для физических и физико-химических методов анализа простых химических объектов; возможности и ограничения применения современных физических и физико-химических методов анализа сложных химических объектов ИПК-2.2. проводить калибровку и настройку серийного оборудования химических лабораторий; анализировать химические вещества и объекты и контролировать протекание процессов на серийном и сложном научном оборудовании ИПК-2.3. владение практическими навыками работы на серийном научном оборудовании химических лабораторий (фотометры, иономеры, рН-метры, весы, термостаты); теоретическими основами и практическими навыками работы на сложном научном оборудовании химических лабораторий (хроматографы, полярографы, спектрофотометры, флуориметры, кулонометры)	20	Опрос. Защита реферата Доклад
2.	Передача сигналов по электрическим цепям	ПК-3 Способен применять основные естественнонауч- ные законы и закономерности развития химической науки при анализе полученных результатов	ИПК-3.1 применять методы, средства и приемы применения логических операций для систематизации и прогнозирования химической информации; основные естественнонаучные законы и закономерности в области аналитической химии и химической экспертизы. ИПК-3.2 объяснять использование логических операций для систематизации и прогнозирования химической информации; проводить анализ, мониторинг и экспертизу объектов различного класса. ИПК-3.3 владение навыками применения логических операций (анализа, синтеза, сравнения, обобщения, доказательства) для систематизации и прогнозирования химической информации; навыками использования законов и закономерностей химических наук для интерпретации результатов анализа, мониторинга и экспертизы	15	Опрос. Защита реферата Доклад
3.	Измерение давления			20	Опрос. Защита реферата Доклад
4.	Измерение температуры			15	Опрос. Защита реферата Доклад
5.	Измерение и генерация потоков излучения			15	Опрос. Защита реферата Доклад
6.	Масс- спектроскопия			15	Опрос. Защита реферата Доклад
7.	Хроматография			20	Опрос. Защита реферата Доклад
8.	Магнитная радиоспектроско- пия			15	Опрос. Защита реферата Доклад
9.	Оптическая спектроскопия			20	Опрос. Защита реферата Доклад

		объектов различного класса.		
	Всего:		150	

ТЕМЫ ДЛЯ КОНТРОЛЯ САМОСТОЯТЕЛЬНОЙ РАБОТЫ СТУДЕНТОВ

Контроль самостоятельной работы студентов – процесс проверки и сопоставления фактических результатов обучения с запланированными и установление их соответствия нормам, стандартам. Контроль включает выявление результатов, их измерение и оценивание, что предполагает создание системы, включающей цели, задачи, предметы контроля и его содержание, формы, виды, методы и т.д.

1. Методы измерений: отклонений, разностный, нулевой.
2. Функция распределения случайной величины.
3. Фазовая скорость. Волновое сопротивление.
4. Линия с малыми потерями. Неискажающая линия.
5. Распространение волн в идеальных линиях и в линиях с потерями, коэффициент затухания и фазовая постоянная.
6. Неискажающая линия. Длинные линии для передачи сигналов различной частоты.
7. Электрические и диэлектрические волноводы.
8. Процессы переноса при различных давлениях и температурах: диффузия, эфузия (температурная транспирация), вязкость, теплопроводность.
9. Физические границы низкого, высокого и сверхвысокого вакуума.
10. Измерение давления в вакуумных системах.

Требование к контролю СРС:

- точность ответа на поставленный вопрос;
- формулировка целей и задач работы;
- раскрытие (определение) рассматриваемого понятия (определения, проблемы, термина);
- четкость структуры работы;
- самостоятельность, логичность изложения;
- наличие выводов, сделанных самостоятельно.

Критерии оценки по контролю СРС:

Отметка «5». Выступление выполнено в полном объеме с соблюдением необходимой последовательности. Работа соответствует требованию.

Отметка «4». Выступление отвечает предъявленным требованиям. Допускаются отклонения от необходимой последовательности выполнения, не влияющие на правильность конечного результата.

Отметка «3». Учащиеся показывают знания не в полной мере и испытывают затруднение при решении задач.

Отметка «2» выставляется в том случае, когда учащиеся не подготовлены к выполнению этой работы.

ЗАДАНИЯ ДЛЯ ОТЧЕТОВ ПО ПРАКТИЧЕСКИМ РАБОТАМ

Отчеты по практическим заданиям направлены на экспериментальное подтверждение теоретических положений и формирование учебных и профессиональных практических умений, они составляют важную часть теоретической и профессиональной практической подготовки по освоению дисциплины.

1. Описание распространения сигналов в длинных линиях, телеграфные уравнения. Волновые процессы в линии передачи без потерь. Фазовая скорость. Волновое сопротивление. Линия с малыми потерями. Неискажающая линия.
2. Измерение давления в вакуумных системах. Механические, тепловые и ионизационные манометры, принципы их действия. Физические ограничения диапазонов применимости различных манометров.
3. Стационарные и импульсные методы получения высоких давлений. Методы измерения высоких давлений. Механические и пьезоэлектрические датчики давления.
4. Равновесное тепловое излучение. Формула Планка. Яркостная, цветовая и радиационная пирометрия. Источники излучения в различных спектральных диапазонах. Примеры источников равновесного и неравновесного излучения.
5. Основные характеристики приемников излучения. Физические принципы, лежащие в основе действия тепловых, фотонных, фотохимических и пондеромоторных детекторов излучения.
6. Определение потенциалов ионизации, энергий диссоциации молекул. Комбинации масс-спектрометра с жидкостным и газовым хроматографами. Примеры использования масс-спектрометрии.
7. Магнитные моменты электрона, ядер и атомов. ЯМР-активные ядра. Спин в постоянном магнитном поле. Магнитный момент и ларморова прецессия.

8. Применение метода ЯМР для изучения структуры молекул. Обменные явления: медленный и быстрый обмен. Принципиальная схема ЯМР-спектрометра.
9. Спектральные диапазоны и соответствующие им степени свободы в молекулярных системах. Вращательные спектры и микроволновая спектроскопия.
10. Спектроскопия комбинационного рассеяния света. Спектральные методы измерения температуры различных степеней свободы (электронная, поступательная, колебательная, вращательная температуры) в неравновесных системах.

Критерии оценки отчетов:

Оценка «5» - глубокое и прочное усвоение материала. Умение доказать свое решение. Демонстрация обучающимся знаний в объеме пройденной программы. Воспроизведение учебного материала с требуемой степенью точности.

Оценка «4» - наличие несущественных ошибок, уверенно исправляемых обучающимся после дополнительных и наводящих вопросов. Демонстрация обучающимся знаний в объеме пройденной программы. Четкое изложение учебного материала.

Оценка «3» - наличие несущественных ошибок в ответе, не исправляемых обучающимся. Демонстрация обучающимся недостаточно полных знаний по пройденной программе.

Оценка «2» - не знание материала пройденной темы. При ответе возникают серьезные ошибки.

ЗАДАНИЯ ДЛЯ УСТНОГО ОПРОСА

Устный опрос — это выяснение мнения сообщества по тем или иным вопросам. По итогам опроса могут быть изменены или отменены существующие либо принятые новые правила и руководства (за исключением противоречащих общим принципам проекта).

Опрос студентов проводится с целью:

- систематизации и закрепления полученных теоретических знаний и практических умений студентов;
 - углубления и расширения теоретических знаний;
 - формирования умений использовать справочную и специальную литературу;
 - развития познавательных способностей и активности студентов;
 - творческой инициативы, самостоятельности, ответственности и организованности;
 - формирования самостоятельности мышления, способностей к саморазвитию, самосовершенствованию и самореализации;
 - развития исследовательских умений.
1. Что такое оптическая плотность?
 2. Что такое калибровочная прямая?
 3. Чем является вещество, которое поглощает свет в видимой области?
 4. Что происходит при поглощении кванта света в УФ-области спектра?
 5. Что такое коэффициент экстинкции?
 6. Какого типа возможны в молекуле этилена при облучении УФ-светом электронные переходы?
 7. Какого типа возможны в молекуле ацетона при облучении УФ-светом электронные переходы?
 8. Смещение полосы поглощения в сторону меньших частот называется
 9. Уменьшение оптической плотности раствора белка в процессе денатурации обусловлено
 10. Что такое батохромный сдвиг?
 11. Что такое синее смещение?
 12. В каких случаях вероятность электронного перехода в молекуле повышается?
 13. Что относится к хромофорным белкам?
 14. Что позволяет метод двойного ЯМР?
15. Каким способом спектр второго порядка можно привести к виду спектра первого порядка?

Требование к устному опросу:

- точность ответа на поставленный вопрос;
- формулировка целей и задач работы;
- раскрытие (определение) рассматриваемого понятия (определения, проблемы, термина);
- четкость структуры работы;
- самостоятельность, логичность изложения;
- наличие выводов, сделанных самостоятельно.

Критерии оценки по устному опросу:

Отметка «5». Выступление выполнено в полном объеме с соблюдением необходимой последовательности. Работа соответствует требованиям.

Отметка «4». Выступление отвечает предъявленным требованиям. Допускаются отклонения от необходимой последовательности выполнения, не влияющие на правильность конечного результата.

Отметка «3». Учащиеся показывают знания не в полной мере и испытывают затруднение при решении задач.

Отметка «2» выставляется в том случае, когда учащиеся не подготовлены к выполнению этой работы.

ТЕСТОВЫЕ ЗАДАНИЯ ИТОГОВОГО КОНТРОЛЯ ПО ДИСЦИПЛИНЕ ФИЗИЧЕСКИЕ МЕТОДЫ ИССЛЕДОВАНИЯ (ЭКЗАМЕН)

Тестовое задание – это один из методов педагогического контроля, задание стандартной формы, выполнение которого позволяет установить уровень и наличие определенных умений, навыков, способностей, умственного развития и других характеристик личности с помощью специальной шкалы результатов, позволяющие за сравнительно короткое время оценить результативность познавательной деятельности, т.е. оценить степень и качество достижения каждым учащимся целей обучения (целей изучения).

@1.

Оптическая плотность – это

- \$A) отношение интенсивностей падающего к прошедшему свету;
- \$B) десятичный логарифм отношения интенсивностей падающего к прошедшему свету;
- \$C) натуральный логарифм отношения интенсивностей падающего к прошедшему свету;
- \$D) степень пропускания раствора;
- \$E) процент пропускания;

@2.

Размерность коэффициента экстинкции

- \$A) Гц/см;
- \$B) нм·см;
- \$C) безразмерная величина;
- \$D) л/моль·см;
- \$E) см⁻¹;

@3.

Калибровочная прямая – это зависимость

- \$A) Интенсивности прошедшего света от толщины кюветы;
- \$B) Оптической плотности от концентрации;
- \$C) Молярного коэффициента экстинкции от длины волны;
- \$D) Силы осциллятора от частоты;
- \$E) Энергия электронного перехода от интенсивности падающего света;

@4.

Вещество, которое поглощает свет в видимой области является:

- \$A) Н-алканом;
- \$B) Циклоалканом;
- \$C) нитросоединением;
- \$D) фенолом;
- \$E) алифатическим спиртом;

@5.

Размерность оптической плотности

- \$A) люмен/м²;
- \$B) люкс;
- \$C) безразмерная величина;
- \$D) моль/л;
- \$E) см;

@6.

При поглощении кванта света в УФ-области спектра

- \$A) молекула переходит в первое возбужденное колебательное состояние;
- \$B) происходит переход электронов с одной молекулярной орбитали на другую;
- \$C) изменяется вращательное квантовое число молекулы на единицу;
- \$D) изменяется ориентация ядерных спинов;
- \$E) изменяет цвет образца;

@7.

Коэффициент экстинкции это...

- \$A) отношение оптической плотности к концентрации вещества;
- \$B) величина оптической плотности в максимуме полосы поглощения;
- \$C) величина оптической плотности при единичных значениях концентрации и толщины поглощающего слоя;
- \$D) коэффициент пропорциональности между оптической плотностью и интенсивностью падающего света;
- \$E) отношение интенсивности падающего и прошедшего света;

@8.

В молекуле этилена при облучении УФ-светом возможны электронные переходы типа:

- \$A) π → σ;
- \$B) σ → π;
- \$C) π → π;
- \$D) σ → σ;
- \$E) n → σ;

@9.

В молекуле ацетона при облучение УФ-светом возможны электронные переходы типа

- \$A) n → π;
- \$B) n → σ;
- \$C) π → π;
- \$D) π → σ;
- \$E) σ → σ;

@10.

В молекуле уксусного альдегида при облучении УФ-светом возможны электронные переходы типа

- \$A) n → π;
- \$B) σ → π;
- \$C) π → π;
- \$D) σ → σ;
- \$E) π → σ;

@11.

В молекуле толуола при облучении УФ-светом возможны электронные переходы типа:

- \$A) π → σ;
- \$B) n → n;
- \$C) σ → σ;
- \$D) σ → π;
- \$E) n → π;

@12.

В молекуле фенола альдегида при облучении УФ-светом возможны электронные переходы типа:

- \$A) n → π;
- \$B) σ → π;
- \$C) π → π;
- \$D) σ → σ;
- \$E) π → π;

@13.

Смещение полосы поглощения в сторону меньших частот называется

- \$A) Гипсохромным сдвигом;
- \$B) Батохромным сдвигом;
- \$C) Гипохромным эффектом;
- \$D) Гиперхромным эффектом;
- \$E) Красным смещением;

@14.

Уменьшение оптической плотности раствора белка в процессе денатурации обусловлено
\$A) Гипсохромным сдвигом; \$B) Батохромным сдвигом; \$C) Красным смешением;
\$D) Гиперхромным эффектом; \$E) Формированием вторичной структуры;

@15.

Плавление вторичной структуры нуклеиновых кислот проявляется в УФ-спектрах их растворов
\$A) Гипсохромным сдвигом; \$B) Красным смешением; \$C) Гиперхромным эффектом;
\$D) Гипохромным эффектом; \$E) Синим смешением;

@16.

Увеличение оптической плотности раствора белка при его нагревании обусловлено:

\$A) Батохромным сдвигом; \$B) Синим смешением; \$C) Гипохромным эффектом;
\$D) Гипсохромным сдвигом; \$E) Плавлением вторичной структуры;

@17.

Смешение полосы поглощения в сторону больших частот называется

\$A) Гипохромным эффектом; \$B) Гиперхромным эффектом; \$C) Синим смешением;
\$D) Гипсохромным сдвигом; \$E) Батохромным сдвигом;

@18.

Батохромный сдвиг – это

\$A) Изменение молярного коэффициента экстинкции при смене заместителя;
\$B) Увеличение оптической плотности раствора при нагревании;
\$C) Смешение полосы поглощения в сторону больших длин волн;
\$D) Смешение полосы поглощения в сторону меньших длин волн;
\$E) Красное смешение;

@19.

Влияние растворителя на УФ-спектры поглощения может проявляться

\$A) Только в неполярных средах; \$B) Батохромным сдвигом; \$C) Синим смешением;
\$D) Ярко выраженным гиперхромным эффектом; \$E) Исчезновением зеленой окраски;

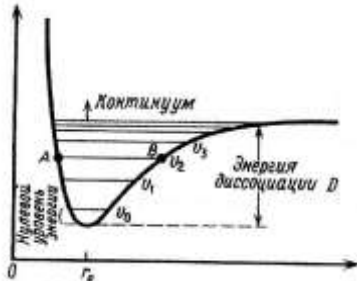
@20

Синее смешение – это

\$A) Уменьшением оптической плотности при смене заместителя;
\$B) Увеличение оптической плотности раствора при нагревании;
\$C) Смешение полосы поглощения в сторону больших длин волн;
\$D) Гипсохромный сдвиг;
\$E) Смешение полосы поглощения меньших длин волн;

@21.

Рисунок соответствует модели осциллятора



\$A) Классический и квантовой ангармонический;
\$B) Классический гармонический; \$C) Классический ангармонический;
\$D) Квантовый гармонический; \$E) Квантовый ангармонический;

@22.

К неплоскостным деформационным колебаниям относятся

\$A) Симметричные; \$B) Веерные; \$C) Ассиметричные; \$D) Крутильные;
\$E) Маятниковые;

@23.

К валентным колебаниям относятся

\$A) Веерные; \$B) Крутильные; \$C) Маятниковые; \$D) Симметричные; \$E) Ассиметрические;

@24.

Колебательные переходы в молекулах наблюдаются при облучении вещества

\$A) УФ-излучением; \$B) Видимым светом; \$C) Рентгеновскими лучами; \$D) ИК-излучением;
\$E) Радиочастотными лучами;

@25.

К плоскостным деформационным колебаниям относятся

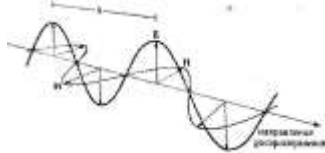
\$A) веерные; \$B) симметричные; \$C) ассиметрические; \$D) ножничковые; \$E) маятниковые;

@26.

Электронные переходы в молекулах наблюдают при облучении вещества
\$A) УФ-излучением; \$B) Видимым светом; \$C) ИК-излучением; \$D) Радиочастотным излучением;
\$E) Рентгеновскими лучами;

@27.

Представленная рисунком электромагнитная волна является



- \$A) плоско-поляризованный; \$B) волновым пакетом; \$C) монохроматической;
\$D) циркулярно -поляризованной; \$E) неполяризованной;

@28.

Вероятность электронного перехода в молекуле повышается если

\$A) и в основном и в возбужденном состояниях наиболее вероятные межъядерные расстояния совпадают или близки между собой;

\$B) равновесие межъядерное расстояние в основном состоянии молекулы больше, чем в возбужденном;

\$C) равновесное межъядерное расстояние в основном состоянии молекулы меньше ,чем в возбужденном;

\$D) Они сопровождаются изменением колебательных квантовых чисел;

\$E) Они не сопровождаются возбуждением колебательных соединений;

@29.

К запрещенным относятся переходы, которые..

- \$A) являются невозможными; \$B) не описаны в литературе; \$C) нарушают правила отбора;
\$D) нарушают правила симметрии; \$E) имеют широкие полосы поглощения в спектре;

@30.

Нормальные алканы поглощают в

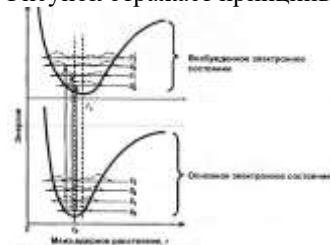
\$A) ближней ИК-области (1200-750); \$B) видимой области (750-390);

\$C) ближней УФ-области (390-240);

\$D) вакуумной УФ-области (180-90); \$E) далекой УФ-области (240-180);

@31.

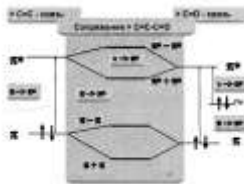
Рисунок отражает принципы:



- \$A) Франк-Кондона; \$B) Электронно -колебательных переходов в молекулах;
\$C) Взаимодействия ИК-излучения с веществом; \$D) Распределения молекулярных орбиталей;
\$E) Квантования вращательной энергии молекулы;

@32.

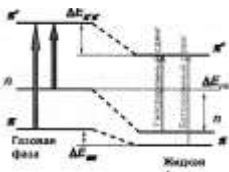
Основываясь на представленном рисунком механизме π - π^* сопряжения, в результате которого в молекуле образуются две новые связывающие и две разрыхляющие молекулярные орбитали π -типа, укажите направления смещения полос;



- \$A) $\pi \rightarrow \pi^*$ переход-гипсохромный сдвиг; \$B) $\pi \rightarrow \pi^*$ переход батохромный сдвиг;
\$C) $n \rightarrow \pi^*$ переход –гипсохромный сдвиг; \$D) n \rightarrow \pi^* переход батохромный сдвиг;
\$E) для обоих переходов смещение отсутствует;

@33.

Основываясь на приведенном рисунке можно заключить, что причиной гипсохромного и батохромного сдвигов при переходе от газовой к жидккой фазе является



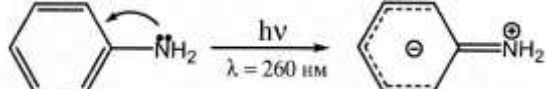
- \$A) изменение за счет сольватации в разностях энергии между основным и возбужденным сольватацией основного состояния;
 \$B) сольватация возбужденного состояния; \$C) возбужденным состояниями при переходе от газу к жидкости;
 \$D) состояниями при переходе от газу к жидкости; \$E) изменение заселенности основного состояния;
 @34.

Каждая пара взаимодействующих атомных орбиталей образует:

- \$A)одну молекулярную орбитал (МО); \$B)две связывающие МО;
 \$C)одну связывающую и одну разрыхляющую МО; \$D)одну связывающую и одну вакантную МО;
 \$E)одну связывающую и одну несвязывающую МО;

@35.

Схемой

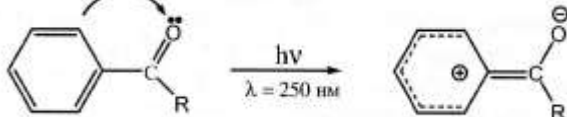


Иллюстрирован,

- \$A)π→π\$B) переход; \$B)n→π\$B) переход; \$C)переход с внутримолекулярным переносом заряда;
 \$D)перенос электрона с гетероатома группы-NH₂ в анилине на ароматическое ядро;
 \$E)переход с межмолекулярным переносом заряда;

@ 36.

Схемой



представлен,

- \$A) перенос электрона с ароматического кольца на гетероатома группы – C(O)R; \$B) π→π переход;
 \$C) n→π переход; \$D) переход с внутримолекулярным переносом заряда; \$E) переход с межмолекулярным переносом заряда;

@37.

В области 280 нм поглощают:

- \$A) Asn; \$B) Tyr; \$C) Glu; \$D) Trp; \$E) Ala;

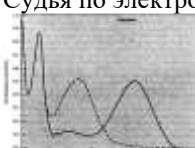
@38.

К хромофорным белкам относятся:

- \$A) Коллаген; \$B) Флавины; \$C) Альбумины; \$D) Глобулин; \$E) Гемпротеины;

@39.

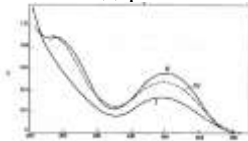
Судья по электронному спектру поглощения родопсина, его молекула содержит:



- \$A) Только полипептидные цепи; \$B) Хромофорные группы; \$C) Спиралевидные структуры;
 \$D) Структуры типа складчатого листа; \$E) Ароматические аминокислоты;

@40.

Судья по электронному спектру поглощения раствора биологического материала в нем может быть достаточно высокое содержание



- \$A)Белков; \$B)Аминокислот; \$C)Нуклеиновых кислот; \$D)Пуриновых кислот;
 \$E)Углеводов;

@41.

Абсорбционная электронная спектроскопия являются

- \$A)Высокохарактеристичной; \$B)Малохарактеристичной;
 \$C)Широко распространенным методом качественного и количественного анализа;

- \$D) Непригодный для количественного анализа;
\$E) Непригодный для целей прямого структурного анализа;

@42.

Оптическая плотность смеси веществ

- \$A) Следует закону аддитивности; \$B) Величина неаддитивная;
\$D) Описывается экспоненциальной функцией от числа компонентов;
\$E) Определяется веществом с наибольшей концентрацией;

@43.

Метод двойного ЯМР позволяет:

- \$A) Повысить чувствительность; \$B) Измерять величины констант спин-спинового взаимодействия;
\$C) Подавлять спин-спиновое взаимодействие и получать спектры со спиновой развязкой;
\$D) Анализировать ядра, обладающие квадрупольным моментом;
\$E) Анализировать немагнитные ядра;

@44.

Фрагмент спектра ПМР

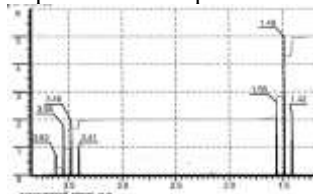


Соответствует спиновой системе:

- \$A) =CH-CH₂-CH=;
\$B) XO-CH₂-CH-CH₂-OX;
\$C) -CH₂-CH₃;
\$D) -CH₂-CH₂-;
\$E) -CH₂-CH₅;

@45.

Фрагмент спектра ПМР

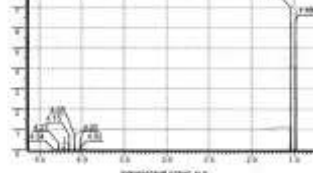


Соответствует спиновой системе:

- \$A)=CH-CH=; \$B)=CH-CH₃; \$C)-CH₂-CH₃; \$D)-CH₂-CH₂-; \$E)-CH₂-CH₂-;

@46.

Фрагмент спектра ПМР

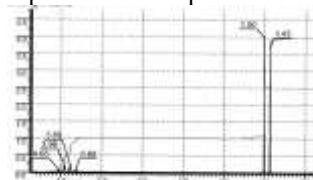


Соответствует спиновой системе:

- \$A)=CH-CH₂- CH=;
\$B)=CH-(CH₃)₂-;
\$C)-CH₂-CH₃;
\$D)-CH₂-CH₂-;
\$E)=CH-CH=;

@47.

Фрагмент спектра ПМР



Соответствует спиновой системе:

- \$A)=CH-CH₃-;
\$B)=CH-CH=;

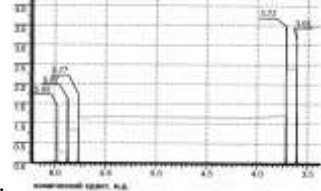
\$C) -CH₂-CH₃;

\$D) -CH₂-CH₂-;

\$E) -CH₂-CH₂-;

@48.

Фрагмент спектра ПМР



Соответствует спиновой системе:

\$A) CH-CH₃-;

\$B) =CH-CH₂-;

\$C) -CH₂-CH₃;

\$D) -CH₂-CH₂-;

\$E) -CH₂-CH₂-;

@49.

ЯМР-спектр второго и более высокого порядков наблюдаются, если

\$A) Протекают быстрые обменные процессы;

\$B) Разности величин химических сдвигов магнитных ядер образца много больше констант их спин-спинового взаимодействия;

\$C) Разности величин химических сдвигов магнитных ядер образца соизмеримы с константами их спин-спинового взаимодействия;

\$D) собственные частоты резонанса ядер лежать в очень слабом поле;

\$E) Низкая напряженность магнитного поля (рабочая частота ЯМР спектра);

@50.

Собственный магнитный и собственный механический моменты элементарных частиц

\$A) порождаются только внешнем полем;

\$B) колinearны;

\$C) пропорциональны между собой;

\$D) взаимосвязаны взаимодействием;

\$E) имеют противоположное направление;

@51.

Величина константы спин-спинового взаимодействия

\$A) определяется напряженностью внешнего магнитного поля;

\$B) является внутренним свойством спиново системы;

\$C) измеряется в миллионных долях;

\$D) не зависит от рабочей частоты ЯМР-спектрометра;

\$E) зависит от рабочей частоты ЯМР-спектрометра;

@52.

На диаграмме представлено



\$A) Разрешенные ориентации собственного магнитного момента ядра в магнитном поле;

\$B) Распределение магнитных ядер по энергиям во внешнем магнитном поле;

\$C) Энергия ядер в состояниях спина против- и по полю;

\$D) Ларморова частота процессии ядра;

\$E) Собственная частота процессии ядра;

@53.

Собственный магнитный момент элементарных частиц обусловлен

\$A) их спином;

\$B) их зарядом;

\$C) внешнем магнитным полем;

\$D) природой мироздания;

\$E) орбитальным магнитным моментом;

@54.

Спектр второго порядка можно привести к виду спектра первого порядка

\$A) повышением мощности генератора радиочастотного излучения;

\$B) методом спин-спиновой развязки;

- §C) прибегая к ядерному эффекту Оверхаузера;
 §D) повышением рабочей частоты ЯМР-спектрометра;
 §E) уменьшением рабочей частоты ЯМР-спектрометра;

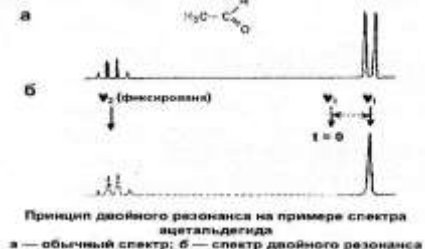
@55.

Собственная частота процессии магнитного ядра во внешнем магнитном поле определяется

- §A) Напряженностью магнитного поля;
 §B) Рабочей частоты ЯМР-спектрометра;
 §C) Величиной суммарного спина ядра;
 §D) Величиной проекции собственного магнитного момента на ось Z;
 §E) Гидромагнитным отношением для ядро;

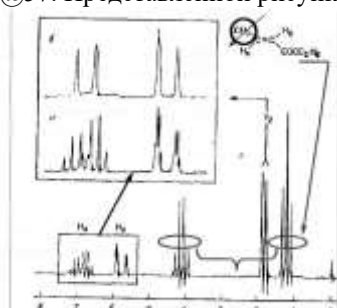
@56.

Представленный рисунком метод двойного резонанса иллюстрирует принципы:



- §A) спин-тиклинга;
 §B) спиновой связки;
 §C) шумовой связки;
 §D) насыщения по выбранной группе ядер;
 §E) ядерного эффекта Оверхаузера;

@57. Представленной рисунком эксперимент по двойному ЯМР применен для

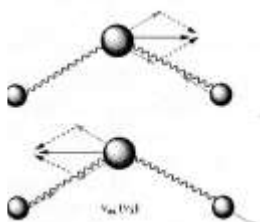


Эксперимент по двойному ЯМР для этилквасоната.

А-обычный спектр; б-спектр двойного резонанса для $v_2 = v_{\text{CH}_2}$

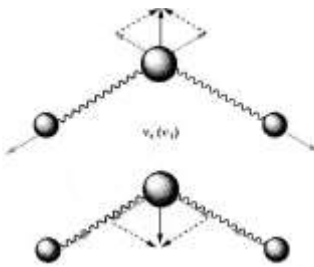
- §A) измерения интенсивности поглощения выделенной группой CH_3 ;
 §B) измерения констант спин-спинового взаимодействия;
 §C) превращения спектра второго порядка в спектр первого порядка посредством спиновой связки;
 §D) выявления двойной связи в молекуле;
 §E) превращения спектра второго порядка в спектр первого порядка посредством спин тиклинга;

@58. Колебание такого типа называются ...



- §A) валентные;
 §B) асимметричные;
 §C) деформационные;
 §D) симметричные;
 §E) параллельные;

@59. Колебание такого типа

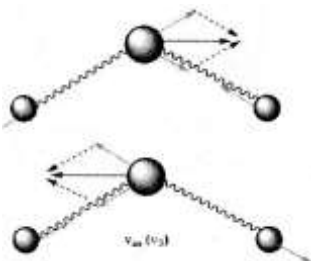


называются..

- \$A) валентные; \$B) асимметричные; \$C) деформационные; \$D) симметричные; \$E) ковалентные;

@60.

Колебания такого типа



- \$A) параллельные; \$B) валентные; \$C) асимметричные; \$D) Деформационные; \$E) симметричные;

@61.

Укажите уравнение Ламберта-Бугера-Бера

- \$A) $\omega = 2\pi H_0$;
\$B) $\omega = \gamma H_0$;
\$C) $D = \lg I_0 / I$;
\$D) $\omega = 2\pi$;
\$E) $\omega = 2\pi D = \epsilon c l$;

@62.

Укажите уравнение оптической плотность

- \$A) $\omega = 2\pi H_0$;
\$B) $\omega = \gamma H_0$;
\$C) $D = \lg I_0 / I$;
\$D) $D = \epsilon c l$;
\$E) $\omega = 2\pi$;

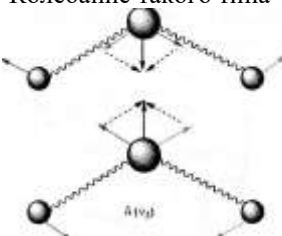
@63.

Укажите основное уравнение ЯМР

- \$A) $\omega = 2\pi H_0$;
\$B) $\omega = \gamma H_0$;
\$C) $D = \lg I_0 / I$;
\$D) $\lg I_0 / I$
\$E) $D = \epsilon c l$;

@64.

Колебание такого типа

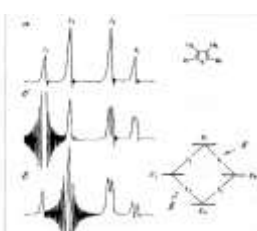


называется ..

- \$A) валентные; \$B) асимметричные; \$C) деформационные; \$D) симметричные; \$E) сжатые;

@65.

Рисунок иллюстрирует механизм реализации:



\$A) ядерного эффекта Оверхаузера; \$B) спин-спинового взаимодействия; \$C) широкополосной развязки;
\$D) спин-тиклинга; \$E) двухмерного ЯМР;

@66.

Ядерный эффект Оверхаузера для ядер разделенных расстоянием r пропорционален:

\$A) r^2 ; \$B) r^3 ; \$C) $1/r^3$; \$D) $1/r^6$; \$E) r/r^3 ;

@67.

Ядерный эффект Оверхаузера позволяет

\$A) выявить группы ядер с очень слабым спин-спиновым взаимодействием;

\$B) устанавливать механизм спин-спинового взаимодействия;

\$C) устанавливать пространственное расположение магнитных ядер связанных прямым диполь-дипольным взаимодействием;

\$D) Оценивать степень экранирования ядер связанных прямым дипольным взаимодействием;

\$E) выполнять тонкие структурные исследования пространственного расположение магнитных ядер;

@68.

Гомоядерный двойной ЯМР выполняется на ядрах

\$A) разных изотопов одного элемента;

\$B) разных магнитных изотопов одного элемента;

\$C) одного типа;

\$D) разных элементов;

\$E) с квадратуполным моментом;

@69.

Гетроядерный двойной ЯМР выполняется на ядрах

\$A) разных изотопов одного элемента;

\$B) разных магнитных изотопов одного элемента;

\$C) разных типов;

\$D) с суммарным спином большим $\frac{1}{2}$;

\$E) одного типа;

@70.

Представленное рисунком свойство собственного магнитного момента обусловлено:



\$A) Коллинеарностью углового магнитного и механического моментов;

\$B) Квантованием собственного механического момента;

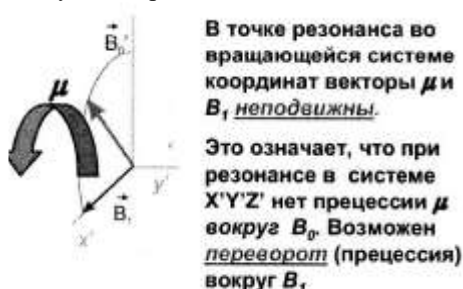
\$C) Квантованием собственного магнитного момента;

\$D) Квантованием величины проекции магнитного момента на ось Z;

\$E) Квантованием величин проекции спина на оси X,Y,Z;

@71.

Рисунком представлен механизм



\$A) переворота суммарного вектора намагниченности;

\$B) резонансного возбуждения вектора намагниченности;

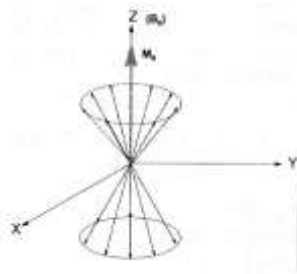
\$C) возникновения ларморовой процессии собственного магнитного момента вокруг вектора;

\$D) опрокидывания спина из состояния по полю в состояние против поля;

\$E) насыщения;

@72.

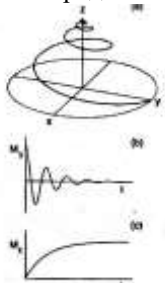
Рисунком представлено



- \$A) Возбужденное состояние магнитного ядра; \$B) Механизм появления суммарного вектора намагниченности;
\$C) Механизм спин-спиновой релаксации; \$D) Механизм спин-решеточной релаксации;
\$E) Механизм резонансного поглощения;

@73.

На рисунке представлено



- \$A) механизм спин-спиновой релаксации; \$B) механизм спин-решеточной релаксации;
\$C) релаксацию вектора суммарной намагниченности;
\$D) механизм возникновения затухающих переменных магнитных полей вдоль осей X, Y;
\$E) переворот вектора суммарной намагниченностью;

@74.

Какие из приведённых ниже выражений относятся к абсолютному показателю преломления, какие – к относительному?

- \$A) отношение синуса угла падения луча в первой среде к синусу угла падения во второй среде;
\$B) отношение угла падения луча во второй среде к углу падения в первой среде;
\$C) отношение абсолютного показателя преломления 2-го вещества к абсолютному показателю ;
\$D) преломления 1-го вещества;
\$E) произведение 1,00027 и измеренного показателя преломления исследуемого вещества;

@75.

Зависимость показателя преломления от длины волны называют:

- \$A) рефракцией; \$B) дисперсией; \$C) поляризацией; \$D) поляризуемостью;
\$E) ионизацией;

@76.

Каковы причины наличия экзальтации молекулярной рефракции?

- \$A) сопряжение связей в молекуле;
\$B) усреднение результатов расчёта по аддитивной схеме;
\$C) ошибка эксперимента;
\$D) наличие нециклической сопряжённой системы у молекулы;
\$E) деполяризация связей в молекуле ;

@77.

В каких случаях зависимость показателя преломления от состава раствора прямолинейна?

- \$A) для идеальных растворов, если измерялся n_c или n_F ;
\$B) для неокрашенных растворов;
\$C) для идеальных растворов, если состав раствора выражен в объёмных долях или процентах;
\$D) для смесей жидкостей, кипящих при близких температурах;
\$E) для смеси газов, если измерялся в объемных долях;

@78.

Однаково ли значение молекулярной рефракции одного и того же вещества, вычисленное и по n_c и по n_F ?

- \$A) одинаково;
\$B) R_c больше R_F , т.к. F – лучи поглощаются веществом;
\$C) R_c меньше R_F , т.к. для C-лучей связевые рефракции меньше;
\$D) R_c больше R_F , имеем дело с аномальной дисперсией;
\$E) R_c равны R_F ;

@79.

Что называют молекулярной дисперсией, обладает ли она свойством аддитивности?

\$A)\$ неаддитивное отклонение теоретически вычисленной молекулярной рефракции для 20.° С от экспериментальной;

\$B)\$ разность молекулярных рефракций для двух длин волн; аддитивна, т.к. это разность аддитивных величин;

\$C)\$ произведение удельной дисперсии и молярной массы аддитивно;

\$D)\$ разность показателей преломления, вычисленная по дисперсионным формулам; аддитивна;

\$E)\$ все верны;

@80.

Каким образом можно получить сведения о молекулярной рефракции твёрдого вещества?

\$A)\$ для твёрдых веществ показатель преломления практически определить нельзя;

\$B)\$ растворить вещество, измерить n в растворе и, используя свойство аддитивности удельной;

\$C)\$ рефракции раствора, зная концентрацию его, вычислить удельную рефракцию растворённого;

\$D)\$ вещества, затем молекулярную;

\$E)\$ по показателю преломления раствора и плотности твёрдого вещества рассчитываем молекулярную рефракцию, из которой вычтем молекулярную рефракцию растворителя;

@81.

Принципы импульсной ЯМР-спектроскопии реализованы в спектрометрах с

\$A)\$ Полевой разверткой; \$B)\$ Частотной разверткой; \$C)\$ Фурье преобразованием;

\$D)\$ Сверхпроводящими магнитами; \$E)\$ Рабочей частотой более 750 МГц;

@82.

В ЯМР-спектрометрах с частотной разверткой

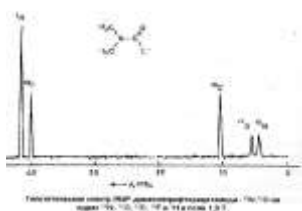
\$A)\$ Напряженность магнитного поля постоянна; \$B)\$ Используется переменное магнитное поле;

\$C)\$ Частота радиочастотного поля свирируется; \$D)\$ Частота радиочастотного поля постоянна;

\$E)\$ Используется переменное магнитное и радиочастотное поле;

@83.

На рисунке представлен гипотетический спектр ЯМР диметилфтифторацетамида. Его молекула составлена только из магнитных изотопов, суммарный ядерный спин которых имеет одну и ту же величину $-1/2$. В тоже время по величинам химических сдвигов эти ядра существенно различаются. Почему?



Ответ-потому что они различаются по

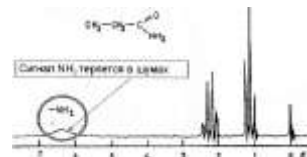
\$A)\$ заряду ядра; \$B)\$ гиromагнитному отношению ядер; \$C)\$ количеству протонов в ядрах;

\$D)\$ степени экранирования ядер электронами; \$E)\$ магнитными свойствами ядер;

@84.

Представленный в спектре ПМР резонансный сигнал протонов аминогрупп

“размывается” по причинам



\$A)\$ отсутствие спин-спинового взаимодействия с протонами группы CH₂;

\$B)\$ быстрых обменных процессов;

\$C)\$ образования водородных связей;

\$D)\$ диссоциации;

\$E)\$ солеобразования;

@ 85.

Сдвиг резонансной частоты или химический сдвиг определяется

\$A)\$ ориентацией спина ядра в магнитном поле;

\$B)\$ наличием у ядра квадрупольного момента;

\$C)\$ степенью экранирования ядра электронами;

\$D)\$ количеством химически эквивалентных ядер;

\$E)\$ силой спин-спинового взаимодействия;

@ 86.

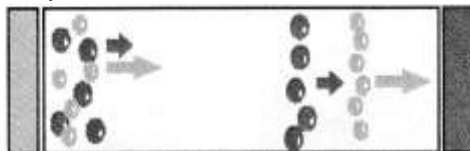
Положение в ПМР-спектре сигналов протонов групп OH, NH, NH₂ и COOH сильно зависит от

\$A)\$ концентрации;

\$B)\$ температуры;

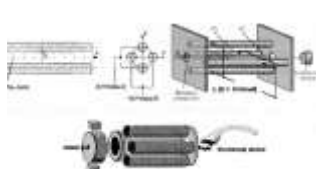
- \$C) растворителя;
 - \$D) добавок, способных образовывать водородные связи;
 - \$E) шифт реагентов;
- @87.

Рисунок



- Иллюстрирует принцип действия масс-спектрометра
- \$A) с магнитным анализатором масс;
 - \$B) с двойной фокусировкой;
 - \$C) Ион-циклотронного резонанса;
 - \$D) Время пролетного;
 - \$E) с квадратупольным масс анализатором;
- @88.

Рисунок



- Иллюстрирует принцип действия масс-спектрометра
- \$A) с квадрупольным сепаратором масс;
 - \$B) с магнитным анализатором масс;
 - \$C) ион циклотронного резонанса;
 - \$D) с двойной фокусировкой;
 - \$E) время пролетного;
- @89.

Метод масс-спектрометрии применим для анализа

- \$A) твердых нелетучих веществ;
 - \$B) газообразных веществ;
 - \$C) легколетучих жидким образцов;
 - \$D) только индивидуальных соединений;
 - \$E) многокомпонентных жидким смесей любого вещества;
- @90.

Изотопные ионы – это

- \$A) Разновидность осколочных ионов;
 - \$B) Перегруппировочные ионы;
 - \$C) Ионы в состав которых входят тяжелые изотопы элементов;
 - \$D) Сопутствуют ионам всех типов;
 - \$E) Сопутствуют только молекулярному иону;
- @91.

Осколочные ионы образуются в результате

- \$A) ионизации; \$B) фрагментации молекулярного иона; \$C) перегруппировки;
 - \$D) электронного захвата; \$E) фрагментации молекулярного и осколочных ионов;
- @92.

Методом масс-спектрометрии можно

- | | |
|--|---|
| <ul style="list-style-type: none"> \$A) Определять молекулярную массу; \$C) Измерять энергию химических связей; \$E) Измерять энергию сродства к электрону; | <ul style="list-style-type: none"> \$B) Устанавливать изотопный состав; \$D) Измерять потенциалы ионизации молекул; |
|--|---|
- @93.

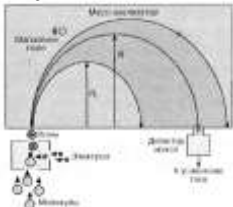
Рисунок иллюстрирует принцип действия масс-спектрометра



- \$A) с ион циклотронным резонансом;
 - \$D) с квадратупольным анализатором;
 - \$B) с магнитным анализатором масс;
 - \$E) с двойной фокусировкой;
- @94.

Разделение ионов по массовым числам в магнитном поле осуществляется в масс-спектрометрах таких типов
 \$A) с магнитным анализатором масс; \$B) с двойной фокусировкой;
 \$C) времени пролетных; \$D) ион-циклотронных; \$E) радиочастотных;
 @95.

Рисунок



Иллюстрирует принцип действия масс-спектрометра

\$A) с ион циклотронным резонансом; \$B) с магнитным анализатором масс; \$C) времени пролетного;
 \$D) с квадрупольным анализатором; \$E) с двойной фокусировкой;
 @96.

Рисунок



Иллюстрирует принцип действия масс-спектрометра

\$A) с магнитным анализатором масс; \$B) с двойной фокусировкой; \$C) времени пролетного;
 \$D) с квадрупольным анализатором; \$E) с ион циклотронным резонансом;
 @97.

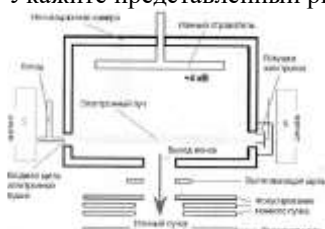
Самый жесткий из перечисленных методом ионизации в масс спектрометрии

\$A)Фотоионизации; \$B)Химическая ионизация; \$C)Термическая ионизация;
 \$D)Электронный удар; \$E)Ионизации электронным ударом;
 @98.

Шкалу массовых чисел в масс-спектрометрах калибруют с помощью:

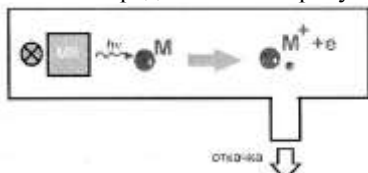
\$A)Тетраметилсилина; \$B)Тяжелых углеводородов; \$C)Легколетучих углеводородов;
 \$D)фторированных керосинов; \$E)абсолютный калибровки;
 @99.

Укажите представленный рисунком метод ионизации



\$A)Электронным ударом; \$B)Фотоионизации; \$C)В ионных пучках; \$D)Электрическим полем;
 \$E)термоударом;
 @100.

Укажите представленный рисунком метод ионизации



\$A)фотоионизации; \$B)в ионных пучках; \$C)электрическим полем; \$D)термоударом;
 \$E)электронным ударом;

Критерии оценки:

Оценка «отлично» выставляется обучающемуся, если: он обнаруживает обнаружившему высокий, продвинутый уровень сформированности компетенций, если он глубоко и прочно усвоил программный материал курса, исчерпывающе, последовательно, четко и логически стройно его излагает, умеет тесно увязывать теорию с практикой, свободно справляется с задачами и вопросами, причем не затрудняется с ответами при видоизменении заданий, правильно обосновывает принятые решения, владеет разносторонними навыками и приемами выполнения практических задач.

Оценка «хорошо» выставляется обучающемуся, если: он обнаруживает повышенный уровень сформированности компетенций, твердо знает материал курса, грамотно и по существу излагает его, не допуская существенных неточностей в ответе на вопрос, правильно применяет теоретические положения при решении практических вопросов и задач, владеет необходимыми навыками и приемами их выполнения.

Оценка «удовлетворительно» выставляется обучающемуся, если: он обнаруживает пороговый уровень сформированности компетенций, имеет знания только основного материала, но не усвоил его деталей, допускает неточности, недостаточно правильные формулировки, нарушения логической последовательности в изложении программного материала, испытывает затруднения при выполнении практических задач;

Оценка «неудовлетворительно» выставляется обучающемуся, если: он обнаруживает недостаточное освоение порогового уровня сформированности компетенций, не знает значительной части программного материала, допускает существенные ошибки, неуверенно, с большими затруднениями решает практические задачи или не справляется с ними самостоятельно.

Оценка не выставляется обучающемуся, если он не явился на экзамен, отказался от его сдачи, не знает программный материал, не может решить практические задачи.

МОУ ВО РОССИЙСКО-ТАДЖИКСКИЙ (СЛАВЯНСКИЙ) УНИВЕРСИТЕТ
Кафедра химии и биологии

**ТЕМЫ ЭССЕ
(рефератов, докладов)
по дисциплине **Физические методы исследования****

Методы измерений: отклонений, разностный, нулевой.
Функция распределения случайной величины.
Фазовая скорость. Волновое сопротивление. Линия с малыми потерями. Неискажающая линия.
Распространение волн в идеальных линиях и в линиях с потерями, коэффициент затухания и фазовая постоянная. Неискажающая линия. Длинные линии для передачи сигналов различной частоты. Электрические и диэлектрические волноводы.
Процессы переноса при различных давлениях и температурах: диффузия, эфузия (температурная транспирация), вязкость, теплопроводность. Физические границы низкого, высокого и сверхвысокого вакуума.
Измерение давления в вакуумных системах. Механические, тепловые и ионизационные манометры, принципы их действия.
Контактные и бесконтактные методы измерения температуры.
Измерение температуры контактными механическими и электрическими методами.
Примеры источников равновесного и неравновесного излучения. Основные характеристики приемников излучения. Физические принципы, лежащие в основе действия тепловых, фотонных, фотохимических и пондеромоторных детекторов излучения.
Шумы и порог чувствительности ФЭУ. Темновой ток ФЭУ, термоэлектронная эмиссия, закон Ричардсона.
Методы ионизации при исследовании биологических молекул.
Применение для разделения смесей изотопов. Тандемная масс-спектрометрия.
Кинетика адсорбции-десорбции в потоке газа-носителя.
Оптимальные размеры и разрешение хроматографической колонки. Детекторы. Зависимость времени удерживания от температуры.
Интенсивность и ширина линий спектра ЯМР. Продольная (спин-решеточная) и поперечная (спин-спиновая) релаксация.
Принципиальная схема ЭПР-спектрометра..
Преимущества применения лазеров в качестве источников возбуждения спектра. Абсорбционный, внутристимулаторный, оптико-акустический и флуоресцентный методы лазерной спектроскопии.
Определение энергии диссоциации. Спектроскопия комбинационного рассеяния света. Спектральные методы измерения температуры различных степеней свободы

Критерии оценки:

Оценка «отлично» выставляется обучающемуся, если: работа написана грамотным научным языком, имеет чёткую структуру и логику изложения, обозначена проблема и обоснована ее актуальность, сделан краткий анализ различных точек зрения на рассматриваемую проблему и логично изложена собственная позиция, сформулированы выводы, тема раскрыта полностью, выдержан объем, точка зрения обучающегося обоснована, в работе присутствуют ссылки на источники и литературу. Обучающийся в работе выдвигает новые идеи и трактовки, демонстрирует способность анализировать материал.

Оценка «хорошо» выставляется обучающемуся, если: работа студента написана грамотным научным языком, имеет чёткую структуру и логику изложения, точка зрения студента обоснована, в работе присутствуют ссылки на источники и литературу. Среди недочетов могут быть: неточности в изложении материала; отсутствие логической последовательности в суждениях; не выдержан объем реферата; имеются упущения в оформлении.

Оценка «удовлетворительно» выставляется обучающемуся, если он выполнил задание, однако тему осветил лишь частично, допустил фактические ошибки в содержании реферата, не продемонстрировал способность к научному анализу, не высказывал в работе своего мнения, допустил ошибки в логическом обосновании своего ответа.

Оценка «неудовлетворительно» выставляется обучающемуся, если: тема реферата не раскрыта, обнаруживается существенное непонимание проблемы, задание выполнено формально, обучающийся ответил на заданный вопрос, но при этом не ссылался на источники и литературу, не трактовал их, не высказывал своего мнения, не проявил способность к анализу, то есть в целом цель реферата не достигнута.

Оценка не выставляется обучающемуся, если реферат им не представлен.

Разработчик: Нуров К.Б.